

(12) 主成分分析を用いた窒素飽和状態の溪流の検出

川上 智規^{1*}・能登 勇二¹・青井 透²・宮里 直樹²・森 邦広³¹富山県立大学 短期大学部 環境システム工学科 (〒939-0398 富山県射水市黒河5180)²群馬工業高等専門学校 環境都市工学科 (〒371-8530 群馬県前橋市鳥羽町580番地)³登山家 (〒379-1305 群馬県利根郡みなかみ町後閑29-6)

* E-mail: kawakami@pu-toyama.ac.jp

窒素飽和は大気からの過剰な窒素化合物の沈着により引起され、陸水の富栄養化や酸性化、森林の衰退をもたらすと考えられている。しかしながら、陸水が窒素飽和状態にあるかどうかを判断するためには、集水域における窒素の収支を測定しなければならないなど困難な面が多い。そこで本研究では、人為的汚染の無い渓流を対象に、それらの渓流が窒素飽和状態にあるのかどうかを判断することを目的として、主成分分析等の多変量解析を適用した。富山県内95箇所、群馬県内10箇所の渓流水の水質データのうち、pH、電気伝導度、 Na^+ 、 K^+ 、 Mg^{2+} 、 Ca^{2+} 、 Cl^- 、 NO_3^- 、 SO_4^{2-} 、Acid Neutralizing Capacity (ANC)の10項目を用いて解析を行った結果、第2主成分Z2 - 第3主成分Z3平面上に窒素飽和区分境界線を設定することができ、この境界線より下の領域に位置する渓流水は窒素飽和であると考えられた。この境界線により「窒素飽和」に区分された渓流は、そのすべてが実際に窒素飽和状態であった。一方、「非窒素飽和」と区分された渓流であってもこの区分境界線近くにプロットされる渓流は窒素飽和状態に近づいている可能性が示唆された。

Key Words : nitrogen saturation, forestedstream, principal component analysis

1. はじめに

近年の肥料製造や、化石燃料の燃焼に伴う NO_x の発生などによる人為的な窒素固定量は全世界で 年間約 160 Tg N/yr と推定され、その量は天然の窒素固定量の 2 倍にも達するとされている¹²⁾。2005 年にチェコで開催された国際酸性雨学会においても窒素化合物の沈着による生態系への影響が主要な議論となつた³⁾。このような窒素化合物の過剰な沈着による影響のひとつとして注目されているのが窒素飽和現象である。窒素飽和現象とは、大気から森林への窒素化合物の沈着量が、森林生態系に

おいて必要とされる窒素量を上回る状態と定義されている⁴⁾。窒素飽和状態が進行した状態では、森林生態系から土壤溶液中に放出された硝酸イオンが渓流水に流出し、陸水の富栄養化や酸性化を引き起すと考えられている^{5,6)}ことから、国内においても新たな環境問題として認識されるようになってきた^{7,8)}。Aber らは窒素飽和の進行の程度を森林生態系の応答に従って表 1 に示すように、ステージ 0 からステージ 3 の 4 つに区分し定義した⁴⁾。また、Stoddard は Aber らの定義にならい、渓流水の水質の年間の変動特性から同じようにステージ 0 からステージ 3 の 4 つの区分を定義した⁹⁾。ステージ 0 は Aber らによ

表 1 窒素飽和の進行による各ステージと森林生態系ならびに渓流水水質の応答

森林生態系の応答 (Aber ら, 1989) ⁴⁾		渓流水水質の応答 (Stoddard, 1994) ⁹⁾
ステージ-0	窒素制限の健全な森林	硝酸イオン濃度は年間を通して低い
ステージ-1	葉のバイオマスが増加	冬期のみ高い硝酸イオン濃度が観測される
	窒素飽和状態	硝酸イオン濃度の季節変化が見られなくなる
ステージ-2	土壤からの硝酸イオンの流出 細根の大幅な減少	
ステージ-3	窒素の流出量 > 窒素の沈着量 森林の衰退	硝酸イオン濃度の季節変化が見られなくなるえ、非常に高濃度の硝酸イオンが観測される。

ると窒素が成長制限因子となっている健全な森林である。Stoddard の定義によると溪流水にはほとんど硝酸イオンは流出しない。樹木による窒素の吸収が少ない冬期にわずかに流出する程度である。ステージ 1 では窒素沈着量の増加に伴って、森林の成長が促進される。溪流水では冬期の硝酸イオン濃度がステージ 0 より高濃度になると同時に、夏期の低濃度の期間が短くなる。ステージ 2 は森林が必要とする以上の窒素が供給される窒素飽和状態で、森林の成長制限因子が窒素ではなくなる。土壤から硝酸イオンの流出が始まり、溪流水ではこれまで見られていた硝酸イオン濃度の季節変化が見られなくなる。ステージ 3 では細根量の減少などにより、森林の衰退が始まることによりバイオマスが減少し、バイオマスに含まれる窒素が流出することによって、さらに土壤中の窒素濃度が上昇する。溪流では高濃度の硝酸イオンが常時観測されるようになり、降雨などによる森林への窒素沈着量を上回る窒素が森林生態系から流出するとされている^{[10][11]}。

これらの定義に従うと、溪流水の水質変化から窒素飽和のステージを判断することが可能であるが、一方、大類らは、降雨の年間のパターンがヨーロッパと日本では異なることから、日本では窒素濃度の季節変化が生じにくく窒素飽和の指標とはならないとしている^{[12][13]}。結局、溪流水や地下水への窒素の流出量が窒素沈着量を上回ることが最も確実なステージ 3 の指標となる。しかしながら、窒素沈着量を把握するにしても複数年にわたる平均値を知る必要があり、測定には多くの労力を必要とする。また、地下水への流出量は測定が極めて難しいうえ、溪流水への流出量は、窒素濃度の変動と流量の変動を連続的に測定し考慮しなければならないなど、多くの困難が伴う。また、ステージ 3 より早い段階での窒素飽和を検出する手法も必要である。

本研究では、国内の溪流水において、10 項目の溪流水の水質データを用い、窒素飽和の診断が可能となるように、主成分分析等の多変量解析法による溪流水質の評価と窒素飽和の診断方法の開発を試みた。

2. 対象とした流域

解析には人為的汚染が無いと考えられる富山県内95箇所と、群馬県内の利根川上流域の10箇所の溪流水の水質を用いた（表2）。このうち、富山県の呉羽丘陵の溪流12箇所はいずれも6mg-NO₃/lを超える高濃度の硝酸イオンが流出しており^{[14][15]}、窒素の流出が沈着量を上回っていることからステージ3の窒素飽和状態にある溪流として扱った^[16]。非窒素飽和の溪流水として、富山県内で

2003年にサンプリングを実施した人為的汚染の無い83箇所の溪流水の水質データを用いた。

群馬県の利根川上流域では広範囲にわたって高濃度の硝酸イオンが観測されている。利根川水系では、鎌川支流（東谷、大沢川、雄川、道平川）、碓氷川支流（中木川2箇所）、湯檜曽川支流（一ノ倉沢2箇所、マチガ沢2箇所）の計10地点を対象とした。これらのうち、特に高濃度の大沢川最上流部ならびに大沢川支流の東谷をステージ3の窒素飽和状態とした。また、湯檜曽川の一ノ倉沢やマチガ沢では樹林帯を集水域に持つ溪流と、岩石帯を集水域に持つ溪流が流下しているが、このうち樹林帯を流下する溪流水をステージ3の窒素飽和状態として扱った。一般的には森林が窒素成分を吸収するため、樹林帯を通過する溪流水の方が硝酸イオン濃度は低くなるはずであるが、一ノ倉沢やマチガ沢では逆に高くなっていることから^{[17][18]}、森林生態系が窒素の供給源となつており、ステージ3の窒素飽和状態にあると判断した。

群馬県におけるこの4箇所以外の溪流水でも硝酸イオン濃度は2.5mg-NO₃/l～6mg-NO₃/lと比較的高く、窒素飽和が疑われるものの、降雨のデータが存在しないため、窒素飽和であるかどうか、あるいはそのステージについては現状では判断が困難である。

表3に、ステージ3の窒素飽和状態として扱った、呉羽丘陵の12箇所の溪流のひとつである百牧谷、ならびに利根川水系の大沢川、一ノ倉沢樹林帯の水質を示す。百牧谷と大沢川では硝酸イオン濃度が非常に高い。一ノ倉沢では硝酸イオン濃度の絶対値は前者ほどではないが、溶存成分中に占める硝酸イオンの割合は高い。

なお、呉羽丘陵の溪流水は流量により水質が大きく変動するが、年間の平均的な水質に相当する2006年5月

表2 対象とした溪流水

	河川名	対象地点	窒素飽和
富山県	呉羽丘陵	12箇所	○
	その他	83箇所	×
群馬県 利根川 水系	鎌川支流	東谷(HI)	○
		大沢川(OH)	○
		雄川(O)	△
		道平川(AF)	△
	碓氷川	中木川支流2ヶ所 (NB, NE)	△
	湯檜曽川 支流	一ノ倉沢岩石帶(I.I)	△
		一ノ倉沢樹林帶(I.S)	○
		マチガ沢岩石帶(M.MK)	△
		マチガ澤樹林帶(M.JK)	○

○：窒素飽和化が確認された溪流

△：窒素飽和化が疑われる溪流

×：非窒素飽和溪流

表3 窒素飽和状態の溪流水の水質

	pH	EC μS/cm	Na ⁺ mg/l	K ⁺ mg/l	Mg ²⁺ mg/l	Ca ²⁺ mg/l	Cl ⁻ mg/l	NO ₃ ⁻ mg/l	SO ₄ ²⁻ mg/l	ANC ⁴ μeq/l
呉羽丘陵 ¹ (2006.5.15)	4.9	72	5.6	1.4	2.0	1.9	9.1	8.5	8.4	-15
大沢川 ² (2006.7.29)	7.7	174	2.2	3.7	3.7	26.7	4.2	24.8	14.6	917
一ノ倉沢 ³ (2006.8.25)	6.9	20	1.4	0.3	0.7	1.7	1.4	2.2	1.2	105

1:富山市呉羽丘陵百牧谷 (36° 41' 26" N, 137° 09' 07" E)

2: 大沢川(36° 12' 40" N, 138° 58' 32" E)

3: 湯檜曾川一ノ倉沢樹林帶 (谷川岳標高 870m 地点, 36° 50' 49" N, 138° 56' 32" E)

pH:ガラス電極法による。

4: Acid Neutralizing Capacity : Gran's plot 法による。

Na⁺, NH₄⁺, K⁺, Mg²⁺, Ca²⁺, Cl⁻, NO₃⁻, SO₄²⁻: イオンクロマトグラフ法による。

15日のデータを主成分分析に用いた。その後、得られた第2主成分Z2、第3主成分Z3のZ2-Z3平面上に、流量が多く、硝酸イオン濃度が高かった2006年3月17日あるいは7月25日のデータをプロットし、解析結果の安定性を検証した。その時の百牧谷における硝酸イオン濃度はそれぞれ、11.0、11.3mg-NO₃/lであった。

3. 解析方法

解析には群馬県内の利根川上流の溪流10箇所、富山県内の溪流95箇所のpH、電気伝導度(EC)、Na⁺、K⁺、Mg²⁺、Ca²⁺、Cl⁻、NO₃⁻、SO₄²⁻、Acid Neutralizing Capacity(ANC)の10水質項目を用いた。ANCは一般的な陸水では炭酸水素イオン濃度から水素イオン濃度を差引いたものと定義され、次式で与えられる^{19,20}。

$$ANC = [HCO_3^-] - [H^+] \quad (I)$$

アルカリ度と異なり、ANCは負の値もとるため、酸性化が進行している溪流水を対象とした解析にも有効である。ANCはGran's plot法を用いて測定した。

なお、ECを除いた9項目に関して、陽イオンの合計と陰イオンの合計を比較すると、陽イオンが平均で5%多いのみであり、イオンバランスは良好であった。

群馬県内の溪流4箇所と富山県の呉羽丘陵の溪流12箇所の合計16箇所が窒素飽和溪流である。他の富山県内の溪流は非窒素飽和溪流、群馬県内の溪流は前章で述べたように窒素飽和が疑われる溪流である。

主成分分析は、各主成分の固有値が1以上のものについて、因子負荷量に基づき解釈することとした。また、固有値が1以上となる第m主成分までの累積寄与率は60~80%以上になる場合の結果を採用することとした²¹。各水質項目の大きさや単位が異なるため、それぞれの平

均値、標準偏差を用いて基準化した変数にした後、解析を行った。ここでは、用いた10水質項目による主成分分析で、固有値が1以上の第3主成分までの累積寄与率は約80%となることから、その結果を示した。さらに、窒素飽和溪流と非窒素飽和溪流を目的変数とした判別分析により、溪流が窒素飽和であるか否かの判別を試みた。

なお、主成分分析、判別分析にはSTATISTICA Pro 98(Statsoftソフトジャパン製)を用いた。

4. 結果と考察

(I) 主成分分析

主成分分析の結果は、固有値が1以上となった第1主成分Z1から第3主成分Z3までの各水質項目の因子負荷量について表4に示した。第3主成分までの累積寄与率は80.3%であり、第3主成分まで解釈した。

第1主成分の因子負荷量は、ECが0.988でもっとも大きく、さらにANC、Ca²⁺、Mg²⁺、SO₄²⁻が0.6以上、そのほかの項目もすべて正の値となっている。したがって、

表4 各水質項目の因子負荷量

主成分	Z1	Z2	Z3
固有値	4.39	2.32	1.32
累積寄与率	43.9%	67.2%	80.3%
pH	0.537	-0.589	0.388
EC	0.988	0.020	0.061
Na ⁺	0.499	0.670	0.470
K ⁺	0.474	0.567	-0.320
Ca ²⁺	0.793	-0.515	-0.099
Mg ²⁺	0.776	-0.040	-0.192
Cl ⁻	0.416	0.782	0.349
NO ₃ ⁻	0.330	0.190	-0.799
SO ₄ ²⁻	0.694	0.212	-0.140
ANC	0.814	-0.494	0.113

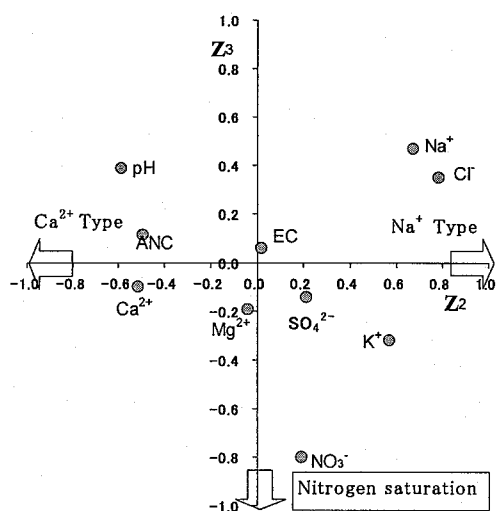


図 1 各水質項目の因子負荷量の第2主成分 Z_2 －第3主成分 Z_3 平面上へのプロット。

第1主成分は、イオン総量の大きさを表す因子と考えられる。

第2主成分の因子負荷量は、 Cl^- 、 Na^+ が 0.6 以上で正の大きな値となり、次いで K^+ が正の値となっている。負の値となる因子負荷量は、 pH 、 Ca^{2+} が -0.5 を下回る値となり、次いで ANC となっている。したがって、第2主成分は主たる陽イオンが Na^+ であるか、 Ca^{2+} であるかという水質の型を表す因子となっている。

第3主成分の因子負荷量は、 NO_3^- が負で -0.799 と大きな値となり、正では Na^+ と pH がやや大きな値となっている。したがって、第3主成分は NO_3^- 濃度の大きさに関わる因子と推測される。

以上のように、富山県、群馬県の溪流河川の水質はここで用いた10水質項目の範囲ではほぼ3つの因子に集約することができた。

(2) 主成分因子得点による窒素飽和渓流の分離

主成分分析における第2主成分 Z_2 、第3主成分 Z_3 がそれぞれの渓流水質の主なる陽イオンの型、 NO_3^- 濃度の大きさを表すと推定されることから、改めて第2主成分 Z_2 －第3主成分 Z_3 平面上に、各水質項目の因子負荷量をプロットすると図 1 のようになる。したがって、 Z_2 － Z_3 平面上に因子得点をプロットすることにより、各渓流水質の主なる陽イオンの型と窒素飽和度を評価することが可能となることが示唆された。

図 2 は、各渓流の第2主成分 Z_2 、第3主成分 Z_3 の Z_2 － Z_3 平面上の因子得点を表したものである。窒素飽和とみなされる群馬県内と吳羽丘陵の渓流のほとんどの地点が Z_3 の負の領域にプロットされた。利根川水系鎌川支流の大沢川や東谷(図 2 中の記号 OH ならびに HI)や富

山県吳羽丘陵の渓流の一部では Z_3 値が負で大きくなっている。また、非窒素飽和とみなされる富山県内の渓流の Z_3 値は正の領域にプロットされる地点が多い。さらに、大沢川(OH)は Z_2 が負の領域に、吳羽丘陵渓流は Z_2 が正の 1 以上の領域にプロットされる地点が多く、共にステージ 3 の窒素飽和渓流ではあるが水質の型がそれぞれ Ca^{2+} 型と Na^+ 型という様に異なっていることがわかる。

湯檜曽川支流の一ノ倉沢(IL: 岩石帶、LS: 樹林帶)、マチガ沢(MMK: 岩石帶、MJK: 樹林帶)の4箇所は、 Z_2 － Z_3 平面上でほぼ同じ位置を占めている。また、鎌川支流の雄川(O)、道平川(AF)、碓氷川支川中木川(NB, NE)も Z_2 － Z_3 平面上でほぼ同じ位置を占めている。地理上の位置が近い箇所が Z_2 － Z_3 平面上でほぼ同じ位置を占めることは、渓流水質が自然的・地理的要因に支配されていることを示している。

また、 Z_3 因子得点が窒素飽和渓流と非窒素飽和渓流により大きく異なる箇所が多いことより、 Z_3 因子得点により窒素飽和渓流と非窒素飽和渓流を区分することが考えられるが、図 2 では吳羽渓流の 2 地点で Z_3 因子得点は正の値となり、富山県内の非窒素飽和渓流でも Z_3 因子得点が負の値となる地点がある。そこで、説明変数として Z_1 、 Z_2 、 Z_3 因子スコアを用いて判別分析を行った。判別分析は STATISTICA Pro 98 (Statsoft ソフトジ

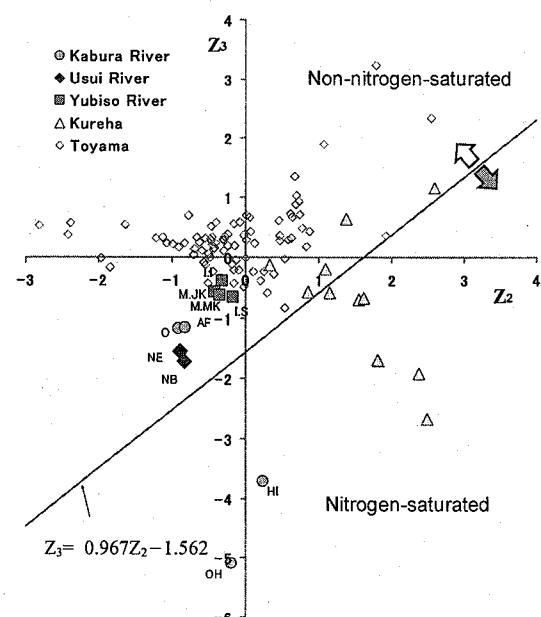


図 2 各渓流の第2主成分 Z_2 、第3主成分 Z_3 の Z_2 － Z_3 平面上の因子得点

OH: 大沢川, HI: 東谷, O: 雄川, NB, NE: 中木川, AF: 道平川, IL: 一ノ倉沢岩石帶, LS: 一ノ倉沢樹林帶, MJK: マチガ沢岩石帶, MMK: マチガ沢樹林帶

ヤパン製)を用いてステップワイズ判別分析を行い、判別に有効な変数を絞り込み、分類関数を求めた。

判別分析の結果、説明変数として Z_2 , Z_3 因子スコアが採択され、分類関数として窒素飽和 N_s 、非窒素飽和 NN_s について次の 2 式が得られた。

$$N_s = 2.2908Z_2 - 2.3680Z_3 - 4.6176 \quad (2)$$

$$NN_s = -0.4118Z_2 + 0.4257Z_3 - 0.2538 \quad (3)$$

ここで $N_s > NN_s$ の場合に窒素飽和と判定される。このことから、(2), (3)式より

$$Z_3 = 0.967Z_2 - 1.562 \quad (4)$$

が、 Z_2-Z_3 平面上での窒素飽和渓流と非窒素飽和渓流を区分する境界となり、これを図 2 に窒素飽和区分境界線として示した。 Z_2-Z_3 平面上でこの境界線の上下で窒素飽和渓流と非窒素飽和渓流を分けると、的中率(判別分析によりどの分類に属するかを正答する割合)は、窒素飽和渓流では 56% で、図 2 にみられるように呉羽丘陵の渓流の 5 地点を含め、窒素飽和渓流の何点かが窒素飽和区分境界線の上に位置している。しかし、それらの多くは境界線近傍にある。一方、非窒素飽和渓流の的中率は 100% で、すべて区分境界線の上にプロットされている。非窒素飽和渓流については、ほぼ窒素飽和区分境界線の上の領域にプロットされると考えられる。

次に、呉羽丘陵の渓流 12 地点の他の調査日の水質についても、(1)の主成分分析で得られた固有ベクトル等を用い Z_2 , Z_3 因子スコアを求め、 Z_2-Z_3 平面上にプロットした(図 3)。2006 年 3 月 17 日(Kureha 060317)と

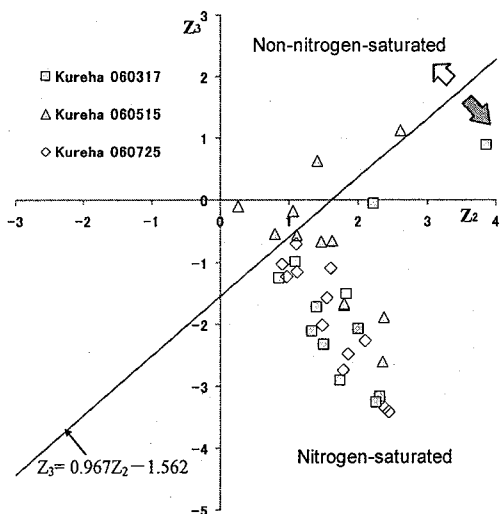


図 3 他の窒素飽和渓流の第 2 主成分 Z_2 , 第 3 主成分 Z_3 の Z_2-Z_3 平面上の因子得点

2006 年 7 月 25 日(Kureha 060725)のそれぞれの 12 地点は、すべてが Z_2-Z_3 平面上の窒素飽和区分境界線より下の領域にプロットされ、窒素飽和渓流であることを示しており、同じ水系であれば水質の変動にあまり影響されず、安定な区分が可能であることを示している。

以上のように、主成分分析より得られた第 2 主成分 Z_2 -第 3 主成分 Z_3 平面上の窒素飽和区分境界線より下の領域にプロットされる渓流は窒素飽和渓流と考えてよいであろう。ただし、この窒素飽和区分境界線は窒素飽和としては重度のステージ 3 とみなされる渓流水の水質から得られたものであり、窒素飽和の進行が進んだ渓流が区分されることに注意する必要がある。また、窒素飽和は次第にステージが進行していくものであり、この区分境界線に近づくということは、重度の窒素飽和に近づいている状態を示しているものと考えられる。ただし、主成分分析の再現性については、さらに多くの試料により検証を重ねていく必要がある。

5. まとめ

渓流の窒素飽和の診断には、降雨よりもたらされる窒素沈着量や、渓流水の窒素濃度の変動と流量の変動を連続的に測定し考慮しなければならないなど、多くの困難が伴う。そこで 10 項目の渓流水の水質データを用い、窒素飽和の診断が可能となるように、主成分分析等の多変量解析法による渓流水質の評価と窒素飽和の診断方法の開発を試み、以下のような結果が得られた。

- 1) 主成分分析の結果、渓流水質は、第 1 主成分はイオーン総量の大きさを表す因子、第 2 主成分は水質が Na^+ 型であるか、 Ca^{2+} 型であるかを表す因子、第 3 主成分は NO_3^- 濃度の大きさに関わる因子の 3 つの因子に集約することができた。
- 2) 第 2 主成分 Z_2 -第 3 主成分 Z_3 平面上に、各渓流の因子得点をプロットすることにより、各渓流の窒素飽和度を評価することが可能である。
- 3) 説明変数として Z_1 , Z_2 , Z_3 因子スコアを用いた判別分析の結果、 Z_2 , Z_3 因子が採択され、第 2 主成分 Z_2 -第 3 主成分 Z_3 平面上に窒素飽和区分境界線を設定した。窒素飽和区分境界線より下の領域にプロットされる箇所はほぼ窒素飽和渓流と診断された。また、この境界線より上の領域にあっても、境界線に近づくにつれて窒素飽和状態が進行しているという診断に用いることが可能であると考えられた。

謝辞：本研究の一部は財団法人鹿島学術振興財团研究助成金の助成を受けて行われたものである。

参考文献

- 1) Galloway, J. N., E. B. Cowling, S. P. Scitinger and R. H. Socolow: Reactive nitrogen: Too much of a good thing?, *AMBIO*, 31(2), 60-63, 2002.
- 2) Zheng X, C. Fu, X. Xu, X. Yan, Y. Huang, S. Shenghui, F. Hu and G. Chen: The Asian Nitrogen Cycle Case Study, *AMBIO*, 31(2), 79-87, 2002.
- 3) Conference Abstracts of 7th International Conference on Acid Deposition, Czech Hydrometeorological Institute, edited by Iva Hünová, 2005.
- 4) Aber, J. D., K. J. Nadelhoffer, P. Steudler, and J. M. Melillo: Nitrogen Saturation in Northern Forest Ecosystems. *BioScience*, 39(6), 378-386, 1989.
- 5) Smith, V. H., Tilman, G. D. and Nekola, J. C.: Eutrophication: impacts of excess nutrient inputs on freshwater, marine, and terrestrial ecosystems. *Environ. Pollut.* 100, 179-196, 1999.
- 6) Church, M. R. and J. V. Sickie: Potential relative future effects of sulfur and nitrogen deposition on lake chemistry in the Adirondack Mountains, United states, *Water Resources Research*, Vol. 35, No.7, 2199-2211, 1999.
- 7) 楊宗興,木平英一,武重祐史,杉山浩史,三宅義則:溪流水のNO₃濃度と森林の窒素飽和, 地球環境, Vol.9, No.1, 29-40, 2004
- 8) Shibata, H., K. Kuraji, H. Toda, and K. Sasa: Regional Comparison of Nitrogen Export to Japanese Forest Streams, *The Scientific World*, 1(S2), 572-580, 2001.
- 9) Stoddard, L. J.: 'Long-Term Changes in Watershed Retention of Nitrogen, in L. A. Baker (ed.)', *Environmental Chemistry of Lake and Reservoirs, Adv. Chem. Ser.* 237, 223-284, 1994.
- 10) McNulty, S. G., J. D. Aber and S. D. Newman: Nitrogen Saturation in a high elevation New England spruce-fir stand, *Forest Ecology and Management*, 84, 109-121, 1996.
- 11) Aber, J., McDowell, W., Nadelhoffer, K., Magill, A., Bernstson, G., Kamakea, M., McNulty, S., Currie, W., Rustad, L., and Fernandez, I.: Nitrogen Saturation in Temperate Forest Ecosystems Hypotheses revised, *BioScience*, 48 (11), 921-934, 1998.
- 12) 大類清和,生原喜久雄,相場芳憲:森林小集水域における溪流水質に及ぼす諸要因の影響, 日林誌, 76(5), 383-392, 1994.
- 13) Ohri, K., and M. J. Mitchell: Nitrogen Saturation in Japanese Forested Watersheds, *Ecological Applications*, 7(2), 391-401, 1997.
- 14) 朴木英治:呉羽丘陵の水質, 富山市呉羽丘陵自然環境調査報告 245-253, 1994.
- 15) 川上智規,朴木英治:富山県の呉羽丘陵に見られる硝酸イオンの流出による溪流水の酸性化, 環境科学会 1999年会講演要旨集, 56-257, 1999.
- 16) Honoki, H., Kawakami, T., Yasuda, H., and Maehara, I.: Nitrate Leakage from Deciduous Forest Soils into Streams on Kureha Hill, Japan. *The Scientific World*, 1(S2), 548-555, 2001.
- 17) 青井透:谷川岳及び最上流域利根川本川・各支川の水質, 環境施設, No.86, 82-88, 2001.
- 18) 森邦弘,青井透,安部聰,池田正芳:谷川岳を含む利根川最上流から利根大堰までの栄養塩濃度の推移と流出源の検討、環境工学論文集, Vol.39, 235-246, 2002.
- 19) Baker, L. A., P. L. Brezonik and E. S. Edgerton: Sources and Sinks of Ions in a Soft Water, Acidic Lake in Florida, *Water Resources Research*, Vol.22, No.5, 715-722, 1986.
- 20) National Acid Precipitation Assessment Program: NAPAP Report No.9: Acidic Deposition, State of Science and Technology: Current Status of Surface Water Acid-Base Chemistry, Washington D.C., 1991
- 21) 奥野忠一,久米均, 芳賀敏郎,吉澤正:多変量解析法,日科技連, 159-257, 1971.

(2007.5.25受付)

A Principal Component Analysis to Detect Nitrogen-saturated Streams

Tomonori KAWAKAMI¹, Yuji NOTO¹, Toru AOI², Naoki MIYAZATO² and Kunihiro MORI³

¹Dept. of Environmental Systems Engineering, Toyama Prefectural University

²Dept. of Civil Engineering, Gunma National College of Technology

³Alpinist

A principal component analysis was applied to water qualities of stream water to detect nitrogen saturation. Ten physicochemical compositions, such as pH, electric conductivity and ion concentrations including nitrate, were introduced to the analysis. Sixteen nitrogen-saturated streams and 83 non nitrogen-saturated streams collected from Toyama and Gunma prefectures were tested for discrimination between nitrogen saturation and non-nitrogen saturation. The analytical result showed that nitrogen-saturated stream could be discriminated from non-nitrogen-saturated stream by a discrimination line on the axes of a secondary principal component (Z₂) and a tertiary principal component (Z₃). Meanwhile, some nitrogen-saturated streams were classified into non-nitrogen saturated stream. This might be because the data of stage-3 of nitrogen saturation, the deepest stage of nitrogen saturation, were used to establish the discrimination line. The streams plotted close to the discrimination line, even on non-nitrogen-saturated zone, could be approaching to nitrogen saturation.